

РОССИЙСКАЯ АКАДЕМИЯ НАУК

**Физический  
институт  
*имени  
П.Н.Лебедева***

**Ф И А Н**

ПРЕПРИНТ

А.В. КОЛЬЦОВ, А.В. СЕРОВ

**1**

**ПЕРЕХОДНОЕ ИЗЛУЧЕНИЕ  
В ДВУГРАННОМ УГЛЕ**

МОСКВА 2009

# **Переходное излучение в двугранном угле**

***A.B.Кольцов, A.B.Серов***

Решена задача возбуждения переходного излучения в двугранном угле, образованном идеально проводящими плоскостями. Поле возбуждается релятивистской заряженной частицей влетающей в двугранный угол перпендикулярно его ребру. Определено пространственное распределение поля излучения. Проведены расчеты угловых распределений интенсивности излучения в двугранных углах с различными углами раствора. Рассмотрены особенности переходного излучения в двугранном угле.

## Введение

Излучение, возникающее при пересечении заряженной частицей границы раздела двух сред, обладает свойствами позволяющими использовать его при решении различных задач [1]. В теории переходного излучения наиболее простым и очень важным частным случаем является излучение, возникающее при падении частицы на идеально проводящую плоскость. Эта задача была рассмотрена уже в первой работе В.Л.Гинзбурга и И.М.Франка по теории переходного излучения [2]. Было показано, что при пересечении плоскости под прямым углом излучаемая энергия равна нулю по направлению скорости частицы и максимальна под углом  $\theta_m \simeq \gamma^{-1}$  к направлению скорости, где  $\gamma$  - относительная энергия частицы. Исследование излучения на более сложных поверхностях раздела показало, что в этих случаях в спектрально-угловых распределениях появляются новые особенности, расширяющие возможности использования переходного излучения в различных приложениях.

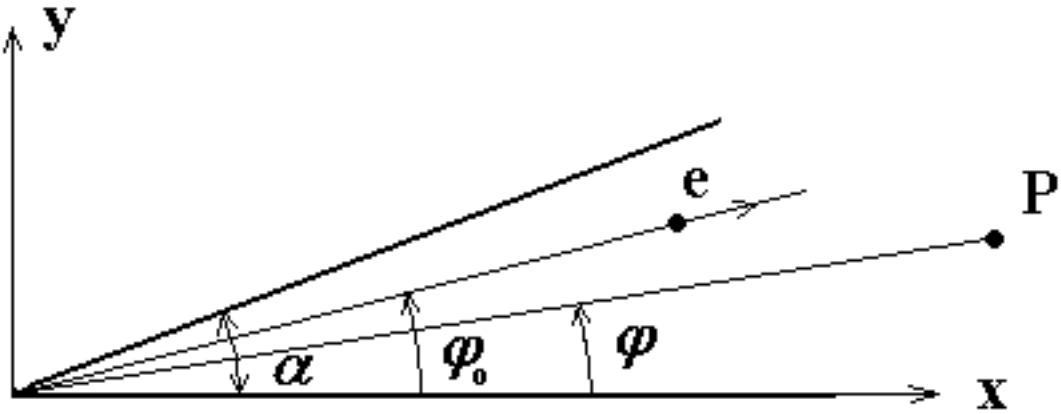
Одной из таких поверхностей раздела двух сред является поверхность, имеющая форму двугранного угла. Свойства переходного излучения генерируемого при пересечении частицей двугранного угла исследовались теоретически [3,4] и экспериментально [5]. В работе [3] было рассмотрено переходное излучение заряженной частицы для случая, когда идеально проводящая поверхность образована двумя плоскостями составляющими двугранный угол с раствором  $\alpha = 90^\circ$ . В работе [4] рассматривался более общий случай, когда плоскости пересекаются не только под прямым углом, а под углом  $\alpha = \pi/m$ , где  $m$  – целое число. В этой работе для описания переходного излучения использовался метод зеркальных изображений. На возможность применения этого метода в задаче о переходном излучении частицы пересекающей проводящую плоскость указывалось еще в работе [2]. Отмечалось, что переходное излучение на идеально проводящей плоскости можно рассматривать как излучение двух частиц: реальной частицы с

зарядом  $q$  и зеркального изображения частицы с зарядом  $-q$ . При падении на идеально проводящую плоскость заряд и его изображение встречаются в точке пересечения плоскости. Возникающее при этом излучение можно представить как сумму излучений генерируемых при остановке заряда и его изображения. В области оптических частот в качестве идеально проводящих можно рассматривать металлические поверхности. С увеличением частоты диэлектрическая проницаемость  $\epsilon$  спадает и при  $\omega \rightarrow \infty \epsilon \rightarrow 1$ . По грубым оценкам частота, до которой металлы можно рассматривать как идеальные проводники, имеет порядок  $\omega \approx 10^{16}$  сек $^{-1}$ .

В настоящей работе рассматриваются особенности переходного излучения в двугранном угле с произвольной величиной угла раствора. При этом излучение генерируемое при пересечении плоской поверхности является частным случаем излучения в двугранном угле с раствором  $180^\circ$ . Для вычисления электромагнитных полей, возбужденных внешним источником в двугранном угле, использовался традиционный электродинамический метод, применяемый при рассмотрении полей возбужденных в закрытых волноводах [6,7]. В этом методе поле в волноводе представляется в виде линейной комбинации полей собственных волн двух различных типов: поперечно электрических волн (Н-волн) и поперечно магнитных волн (Е-волн).

## **Переходное излучение**

В дальнейшем используется система единиц, в которой скорость света  $c = 1$ . Геометрия задачи представлена на рис.1. Двугранный угол образован при пересечении плоскостей, обладающих идеальной проводимостью. Раствор двугранного угла равен  $\alpha$ . Ось  $z$  прямоугольной системы координат направлена по прямой по которой пересекаются плоскости, образующие двугранный угол, а ось  $x$  - вдоль одной из плоскостей. Заряженная частица  $q$  вылетает из точки расположенной на ребре двугранного угла и движется с постоянной скоростью  $v$ . Вектор скорости частицы лежит в плоскости  $xy$  и направлен под углом  $\varphi_0$  к оси  $x$ . Через  $\varphi$  обозначен угол между осью  $x$



**Рис.1 Геометрия задачи**

и проекцией на плоскость  $xy$  прямой, проведенной из начала координат в точку наблюдения  $P$ .

Двугранный угол представляет собой направляющую структуру однородную вдоль продольной оси  $z$ . В волне, бегущей вдоль оси  $z$ , зависимость всех величин определяется множителем  $\exp i(\omega t - k_z z)$ , где  $k_z$  - продольное волновое число,  $\omega$  - частота электромагнитной волны. Электромагнитные поля  $\mathbf{E}(x, y, z, t)$  и  $\mathbf{H}(x, y, z, t)$  можно записать в виде

$$\mathbf{E}(x, y, z, t) = \int \mathbf{E}_{\omega k_z}(x, y) e^{i(\omega t - k_z z)} d\omega dk_z \quad (1)$$

$$\mathbf{H}(x, y, z, t) = \int \mathbf{H}_{\omega k_z}(x, y) e^{i(\omega t - k_z z)} d\omega dk_z, \quad (2)$$

где  $\mathbf{E}_{\omega k_z}(x, y)$ ,  $\mathbf{H}_{\omega k_z}(x, y)$  - Фурье представления полей по  $\omega$  и  $k_z$ , определяемые выражениями

$$\mathbf{E}_{\omega k_z}(x, y) = \frac{1}{(2\pi)^2} \int \mathbf{E}(x, y, z, t) e^{-i(\omega t - k_z z)} d\omega dk_z \quad (3)$$

$$\mathbf{H}_{\omega k_z}(x, y) = \frac{1}{(2\pi)^2} \int \mathbf{H}(x, y, z, t) e^{-i(\omega t - k_z z)} d\omega dk_z. \quad (4)$$

В дальнейшем нижние индексы  $\omega k_z$  у Фурье представлений полей будут опускаться.

По условиям задачи продольная компонента плотности тока  $j_z$  равна нулю и в общем случае не равны нулю поперечные компоненты плотности тока  $j_x$  и  $j_y$ . С учетом этого, уравнения Максвелла

$$rot \mathbf{H} = \frac{\partial \mathbf{E}}{\partial t} + 4\pi \mathbf{j} \quad div \mathbf{E} = 4\pi \varrho \quad (5)$$

$$rot \mathbf{E} = -\frac{\partial \mathbf{H}}{\partial t} \quad div \mathbf{H} = 0, \quad (6)$$

где  $\varrho$  - плотность заряда, можно переписать в виде

$$\frac{\partial H_z}{\partial y} + ik_z H_y = 4\pi j_x + i\omega E_x \quad (7)$$

$$\frac{\partial H_z}{\partial x} + ik_z H_x = -4\pi j_y - i\omega E_y \quad (8)$$

$$\frac{\partial H_y}{\partial x} - \frac{\partial H_x}{\partial y} = i\omega E_z \quad (9)$$

$$\frac{\partial E_x}{\partial x} + \frac{\partial E_y}{\partial y} - ik_z E_z = 4\pi \varrho \quad (10)$$

$$\frac{\partial E_z}{\partial y} + ik_z E_y = -i\omega H_x \quad (11)$$

$$\frac{\partial E_z}{\partial x} + ik_z E_x = i\omega H_y \quad (12)$$

$$\frac{\partial E_y}{\partial x} - \frac{\partial E_x}{\partial y} = -i\omega H_z \quad (13)$$

$$\frac{\partial H_x}{\partial x} + \frac{\partial H_y}{\partial y} - ik_z H_z = 0 \quad (14)$$

Из (7)-(14) получаем уравнения, позволяющие по продольным компонентам  $E_z$  и  $H_z$  определить все поперечные компоненты полей

$$H_x = \frac{1}{k_\perp^2} \left( i\omega \frac{\partial E_z}{\partial y} - ik_z \frac{\partial H_z}{\partial x} - 4\pi ik_z j_y \right) \quad (15)$$

$$H_y = \frac{1}{k_\perp^2} \left( -i\omega \frac{\partial E_z}{\partial x} - ik_z \frac{\partial H_z}{\partial y} + 4\pi ik_z j_x \right) \quad (16)$$

$$E_x = \frac{1}{k_\perp^2} \left( -ik_z \frac{\partial E_z}{\partial x} - i\omega \frac{\partial H_z}{\partial y} + 4\pi i\omega j_x \right) \quad (17)$$

$$E_y = \frac{1}{k_\perp^2} \left( -ik_z \frac{\partial E_z}{\partial y} + i\omega \frac{\partial H_z}{\partial x} + 4\pi i\omega j_y \right) \quad (18)$$

где  $\Delta_2$  - двумерный оператор Лапласа,  $k_{\perp}^2$  - поперечное волновое число,  $k_{\perp}^2 = k^2 - k_z^2$ ,  $k = \omega$ , и неоднородные уравнения Гельмгольца с граничными условиями

$$\Delta_2 E_z + k_{\perp}^2 E_z = -4\pi i k_z \varrho \quad E_z|_S = 0 \quad (19)$$

$$\Delta_2 H_z + k_{\perp}^2 H_z = 4\pi \left( \frac{\partial j_x}{\partial y} - \frac{\partial j_y}{\partial x} \right) \quad \frac{\partial H_z}{\partial n}|_S = 0 \quad (20)$$

Собственные функции двугранного угла могут быть определены из решений волновых уравнений, удовлетворяющих граничным условиям

$$\Delta_2 E_z + k_{\perp}^2 E_z = 0 \quad E_z|_S = 0 \quad (21)$$

$$\Delta_2 H_z + k_{\perp}^2 H_z = 0 \quad \frac{\partial H_z}{\partial n}|_S = 0. \quad (22)$$

В качестве собственных функций двугранного угла выбираем [6,7]

$$\Phi_m = \sin(\nu m \varphi) J_{\nu m}(\rho), \quad (23)$$

где  $\nu = \frac{\pi}{\alpha}$ ,  $\rho = \sqrt{x^2 + y^2}$ ,  $\varphi$  - угол между осью  $x$  и проекцией на плоскость  $xy$  прямой, проведенной из начала координат в точку наблюдения.

Построим функции Грина для двух пересекающихся идеально проводящих плоскостей. Для  $E$ -волн функция Грина должна удовлетворять уравнению

$$\Delta_2 G^E + k_{\perp}^2 G^E = -4\pi \delta(\boldsymbol{\rho} - \boldsymbol{\rho}'), \quad (24)$$

с граничным условием  $G^E|_S = 0$ ,  $k_{\perp}^2 > 0$ .

Представим  $\delta$ -функцию в правой части выражения (24) в виде произведения двух  $\delta$ -функций

$$\delta(\boldsymbol{\rho} - \boldsymbol{\rho}') = \frac{1}{\rho'} \delta(\rho - \rho') \delta(\varphi - \varphi').$$

Будем использовать разложение  $\delta(\varphi - \varphi')$ -функции в ряд по синусам

$$\delta(\varphi - \varphi') = \frac{2}{\alpha} \sum_{m=1}^{\infty} \sin(\nu m \varphi) \sin(\nu m \varphi'), \quad (25)$$

а  $\delta(\rho - \rho')$  в интеграл по Бесселевым функциям

$$\delta(\rho - \rho') = \int_0^\infty J_{\nu m}(\rho t) J_{\nu m}(\rho' t) \rho' t dt \quad (26)$$

Имеем

$$\delta(\rho - \rho') = \frac{2}{\alpha} \sum_{m=1}^{\infty} \sin(\nu m \varphi) \sin(\nu m \varphi') \int_0^\infty J_{\nu m}(\rho t) J_{\nu m}(\rho' t) t dt. \quad (27)$$

Ищем решение уравнения (24) в виде

$$G^E = \frac{2}{\alpha} \sum_{m=1}^{\infty} \int_0^\infty A_m(t) \sin(\nu m \varphi) J_{\nu m}(\rho t) t dt. \quad (28)$$

Подставляя (27) и (28) в уравнение (24) после дифференцирования получаем

$$\begin{aligned} & \frac{2}{\alpha} \sum_{m=1}^{\infty} \int_0^\infty A_m(t) \sin(\nu m \varphi) J_{\nu m}(\rho t) (k_\perp^2 - t^2) t dt = \\ & -\frac{8\pi}{\alpha} \sum_{m=1}^{\infty} \sin(\nu m \varphi) \sin(\nu m \varphi') \int_0^\infty J_{\nu m}(\rho t) J_{\nu m}(\rho' t) t dt, \end{aligned} \quad (29)$$

откуда находим выражение для функции  $A_m(t)$

$$A_m(t) = -\frac{4\pi}{k_\perp^2 - t^2} \sin(\nu m \varphi') J_{\nu m}(\rho' t). \quad (30)$$

Интеграл в правой части выражения (29) можно представить в виде [8]

$$\int_0^\infty J_{\nu m}(\rho t) J_{\nu m}(\rho' t) \frac{t}{k_\perp^2 - t^2} dt = \begin{cases} \frac{i\pi}{2} H_{\nu m}^{(2)}(k_\perp \rho') J_{\nu m}(k_\perp \rho) & \rho < \rho' \\ \frac{i\pi}{2} H_{\nu m}^{(2)}(k_\perp \rho) J_{\nu m}(k_\perp \rho') & \rho > \rho'. \end{cases} \quad (31)$$

Окончательно получаем

$$G^E = \begin{cases} -\frac{i4\pi^2}{\alpha} \sum_{m=1}^{\infty} \sin(\nu m \varphi) \sin(\nu m \varphi') H_{\nu m}^{(2)}(k_\perp \rho') J_{\nu m}(k_\perp \rho) & \rho < \rho' \\ -\frac{i4\pi^2}{\alpha} \sum_{m=1}^{\infty} \sin(\nu m \varphi) \sin(\nu m \varphi') H_{\nu m}^{(2)}(k_\perp \rho) J_{\nu m}(k_\perp \rho') & \rho > \rho'. \end{cases} \quad (32)$$

Для  $H$ -волн функция Грина должна удовлетворять уравнению

$$\Delta_2 G^H + k_{\perp}^2 G^H = -4\pi\delta(\boldsymbol{\rho} - \boldsymbol{\rho}'), \quad (33)$$

с граничным условием  $\frac{\partial G^E}{\partial n}|_S = 0, k_{\perp}^2 > 0$ .

Используя разложения  $\delta(\varphi - \varphi')$ -функции в ряд по косинусам

$$\delta(\varphi - \varphi') = \frac{1}{\alpha} \sum_{m=0}^{\infty} \epsilon_m \cos(\nu m \varphi) \cos(\nu m \varphi') \quad \epsilon_m = \begin{cases} 1 & m = 0 \\ 2 & m > 0 \end{cases} \quad (34)$$

и проводя вычисления, аналогичные выполненным ранее при построении функции Грина  $G^E$ , получаем

$$G^H = \begin{cases} \frac{-i2\pi^2}{\alpha} \sum_{m=1}^{\infty} \epsilon_m \cos(\nu m \varphi) \cos(\nu m \varphi') H_{\nu m}^{(2)}(k_{\perp} \rho') J_{\nu m}(k_{\perp} \rho) & \rho < \rho' \\ \frac{-i2\pi^2}{\alpha} \sum_{m=1}^{\infty} \epsilon_m \cos(\nu m \varphi) \cos(\nu m \varphi') H_{\nu m}^{(2)}(k_{\perp} \rho) J_{\nu m}(k_{\perp} \rho') & \rho > \rho'. \end{cases} \quad (35)$$

Электромагнитные поля с помощью функции Грина определяются из соотношений

$$E = \int G^E(\boldsymbol{\rho}, \boldsymbol{\rho}') i k_{\perp} \varrho d\boldsymbol{\rho}' \quad (36)$$

$$H = \int G^H(\boldsymbol{\rho}, \boldsymbol{\rho}') \left( \frac{\partial j_y}{\partial x} - \frac{\partial j_x}{\partial y} \right) d\boldsymbol{\rho}'. \quad (37)$$

Плотность заряда и плотность тока частицы, движущейся с постоянной скоростью  $v$  по радиусу, лежащему в плоскости  $xy$ , и под углом  $\varphi_o$  к оси  $x$  (см. рис.1) в цилиндрической системе координат, описываются выражениями

$$\begin{aligned} \varrho &= \frac{q}{\rho} \delta(\rho - vt) \delta(\varphi - \varphi_o) \delta(z) \\ j_{\rho} &= \frac{qv}{\rho} \delta(\rho - vt) \delta(\varphi - \varphi_o) \delta(z) \\ j_{\varphi} &= 0 \end{aligned}$$

Фурье представления по  $\omega$  и  $k_z$  плотности заряда и плотности тока имеют вид

$$\varrho = \frac{q}{(2\pi)^2 v \rho} \delta(\varphi - \varphi_o) e^{-i\chi\rho} \quad (38)$$

$$j = \frac{q}{(2\pi)^2 \rho} \delta(\varphi - \varphi_o) e^{-i\chi\rho}, \quad (39)$$

где  $\chi = \frac{\omega}{v}$ .

Подставляя функцию Грина  $G^H$  (35) и плотность тока (39) в (37), получаем выражение для поля переходного излучения

$$H_z = \frac{iq}{2\alpha} \sum_{m=0}^{\infty} \epsilon_m \int_0^{\alpha} \cos(\nu m \varphi) \cos(\nu m \varphi') \delta'(\varphi' - \varphi_0) d\varphi' \times \quad (40)$$

$$\left[ \int_0^{\rho} H_{\nu m}^{(2)}(k_{\perp}\rho) J_{\nu m}(k_{\perp}\rho') \frac{e^{-i\chi\rho'}}{\rho'} d\rho' + \int_{\rho}^{\infty} H_{\nu m}^{(2)}(k_{\perp}\rho') J_{\nu m}(k_{\perp}\rho) \frac{e^{-i\chi\rho'}}{\rho'} d\rho' \right].$$

Интегрируя по  $d\varphi'$  и учитывая, что член с  $m = 0$  равен нулю получаем

$$H_z = \frac{-iq}{\alpha} \sum_{m=1}^{\infty} (\nu m) \sin(\nu m \varphi_0) \cos(\nu m \varphi) \times \quad (41)$$

$$\left[ \int_0^{\rho} H_{\nu m}^{(2)}(k_{\perp}\rho) J_{\nu m}(k_{\perp}\rho') \frac{e^{-i\chi\rho'}}{\rho'} d\rho' + \int_{\rho}^{\infty} H_{\nu m}^{(2)}(k_{\perp}\rho') J_{\nu m}(k_{\perp}\rho) \frac{e^{-i\chi\rho'}}{\rho'} d\rho' \right].$$

В волновой зоне при  $\rho \rightarrow \infty$  поле  $H_z$  равно

$$H_z = \frac{-iq}{\alpha} \sum_{m=1}^{\infty} (\nu m) \sin(\nu m \varphi_0) \cos(\nu m \varphi) H_{\nu m}^{(2)}(k_{\perp}\rho) \int_0^{\infty} J_{\nu m}(k_{\perp}\rho') \frac{e^{-i\chi\rho'}}{\rho'} d\rho'. \quad (42)$$

Так как  $k_{\perp} \leq \omega$ , следовательно всегда  $\chi > k_{\perp}$ . В этом случае интеграл в правой части (42) равен [9]

$$\int_0^{\infty} J_{\nu m}(k_{\perp}\rho') \frac{e^{-i\chi\rho'}}{\rho'} d\rho' = \frac{k_{\perp}^{\nu m} e^{-i\nu m \pi/2}}{\nu m (\chi + \sqrt{\chi^2 - k_{\perp}^2})^{\nu m}}. \quad (43)$$

Подставляя (43) в (42) и учитывая асимптотику функций Ганкеля

$$H_p^{(1,2)}(x) \approx \sqrt{\frac{2}{\pi x}} e^{\pm i(x - \frac{p\pi}{2} - \frac{\pi}{2})},$$

получаем

$$H_z = \frac{-iq}{\alpha} \sqrt{\frac{2}{\pi k_{\perp}\rho}} e^{-i(k_{\perp}\rho - \frac{\pi}{4})} \sum_{m=1}^{\infty} k_{\perp}^{\nu m} \frac{\sin(\nu m \varphi_0) \cos(\nu m \varphi)}{(\chi + \sqrt{\chi^2 - k_{\perp}^2})^{\nu m}} = \quad (44)$$

$$\frac{-i}{2} \sqrt{\frac{2}{\pi k_{\perp}\rho}} e^{-i(k_{\perp}\rho - \frac{\pi}{4})} K_H(k_z).$$

Через  $K_H(k_z)$  обозначена функция

$$K_H(k_z) = \frac{2q}{\alpha} \sum_{m=1}^{\infty} k_{\perp}^{\nu m} \frac{\sin(\nu m \varphi_0) \cos(\nu m \varphi)}{(\chi + \sqrt{\chi^2 - k_{\perp}^2})^{\lambda m}} = \quad (45)$$

$$Im \left[ \frac{q}{\alpha} \sum_{m=1}^{\infty} \frac{k_{\perp}^{\nu m}}{(\chi + \sqrt{\chi^2 - k_{\perp}^2})^{\nu m}} (e^{i\nu m (\varphi_0 - \varphi)} + e^{i\nu m (\varphi_0 + \varphi)}) \right] = Im \left[ \frac{q}{\alpha} \sum_{m=0}^{\infty} (h_+^m + h_-^m) \right]$$

$$K_H(k_z) = \frac{qh}{\alpha} \left( \frac{\sin \nu(\varphi_0 - \varphi)}{1 + h^2 - 2h \cos \nu(\varphi_0 - \varphi)} + \frac{\sin \nu(\varphi_0 + \varphi)}{1 + h^2 - 2h \cos \nu(\varphi_0 + \varphi)} \right), \quad (46)$$

где

$$h = \left( \frac{k_{\perp}}{\chi + \sqrt{\chi^2 - k_{\perp}^2}} \right)^{\nu}$$

$$h_+ = \left( \frac{k_{\perp}}{\chi + \sqrt{\chi^2 - k_{\perp}^2}} e^{i(\varphi_0 + \varphi)} \right)^{\nu} \quad h_- = \left( \frac{k_{\perp}}{\chi + \sqrt{\chi^2 - k_{\perp}^2}} e^{i(\varphi_0 - \varphi)} \right)^{\nu}.$$

Подобным же образом может быть определено электрическое поле волны. Для этого подставим функцию Грина  $G^E$  (32) в выражение (36) и после интегрирования получим

$$E_z = \frac{-i}{2} \sqrt{\frac{2}{\pi k_{\perp} \rho}} e^{-i(k_{\perp} \rho - \frac{\pi}{4})} K_E(k_z), \quad (47)$$

где через  $K_E(k_z)$  обозначена функция

$$K_E(k_z) = \frac{2k_z q}{\alpha v \sqrt{\chi^2 - k_{\perp}^2}} \sum_{m=1}^{\infty} k_{\perp}^{\nu m} \frac{\sin(\nu m \varphi_0) \sin(\nu m \varphi)}{(\chi + \sqrt{\chi^2 - k_{\perp}^2})^{\nu m}} = \quad (48)$$

$$K_E(k_z) = \frac{k_z q}{\alpha v \sqrt{\chi^2 - k_{\perp}^2}} \left( \frac{1 - h \cos \nu(\varphi_0 - \varphi)}{1 + h^2 - 2h \cos \nu(\varphi_0 - \varphi)} - \frac{1 - h \cos \nu(\varphi_0 + \varphi)}{1 + h^2 - 2h \cos \nu(\varphi_0 + \varphi)} \right). \quad (49)$$

Зная выражения описывающие  $E_z$  и  $H_z$  составляющие электромагнитной волны, можно определить все остальные компоненты. Для цилиндрической системы координат имеем

$$E_{\rho} = -\frac{1}{k_{\perp}^2 \rho} \left( ik_z \rho \frac{\partial E_z}{\partial \rho} + i\omega \frac{\partial H_z}{\partial \varphi} \right), \quad E_{\varphi} = -\frac{1}{k_{\perp}^2 \rho} \left( ik_z \frac{\partial E_z}{\partial \varphi} - i\omega \rho \frac{\partial H_z}{\partial \rho} \right) \quad (50)$$

$$H_\rho = \frac{1}{k_\perp^2 \rho} \left( i\omega \frac{\partial E_z}{\partial \varphi} - ik_z \rho \frac{\partial H_z}{\partial \rho} \right), \quad H_\varphi = -\frac{1}{k_\perp^2 \rho} \left( i\omega \rho \frac{\partial E_z}{\partial \rho} + ik_z \frac{\partial H_z}{\partial \varphi} \right). \quad (51)$$

Дифференцируя и оставляя основные члены, получаем

$$E_\rho = -\frac{k_z}{k_\perp} E_z, \quad E_\varphi = \frac{\omega}{k_\perp} H_z \quad (52)$$

$$H_\rho = -\frac{k_z}{k_\perp} H_z, \quad H_\varphi = -\frac{\omega}{k_\perp} E_z. \quad (53)$$

Для определения энергии  $W$  излученной в интервал частот  $d\omega$  в телесном угле  $d\Omega$  необходимо вычислить Фурье представление поля по  $d\omega$ . Для этого умножаем на  $e^{-ik_z z}$  выражения для  $E_z$  и  $H_z$  и интегрируем по  $dk_z$ . Поскольку мы рассматриваем поля на больших расстояниях от ребра (при  $\rho \rightarrow \infty$ ), то интегрирование можно провести методом стационарной фазы. В результате имеем

$$E_z = K_E(\omega \cos \theta) \frac{e^{-i\omega r}}{r}, \quad H_z = K_H(\omega \cos \theta) \frac{e^{-i\omega r}}{r} \quad (54)$$

где через  $\theta$  обозначен угол между продольной осью  $z$  и прямой направленной в точку наблюдения. Функции  $K_E$  и  $K_H$  можно представить в виде

$$K_E(\omega \cos \theta) = \frac{q \cos \theta}{\alpha \sqrt{1 - v^2 \sin^2 \theta}} \left( \frac{1 - h \cos \nu(\varphi_0 - \varphi)}{1 + h^2 - 2h \cos \nu(\varphi_0 - \varphi)} - \frac{1 - h \cos \nu(\varphi_0 + \varphi)}{1 + h^2 - 2h \cos \nu(\varphi_0 + \varphi)} \right) \quad (55)$$

$$K_H(\omega \cos \theta) = \frac{qh}{\alpha} \left( \frac{\sin \nu(\varphi_0 - \varphi)}{1 + h^2 - 2h \cos \nu(\varphi_0 - \varphi)} + \frac{\sin \nu(\varphi_0 + \varphi)}{1 + h^2 - 2h \cos \nu(\varphi_0 + \varphi)} \right) \quad (56)$$

$$h = \left( \frac{v \sin \theta}{1 + \sqrt{1 - v^2 \sin^2 \theta}} \right)^\nu \quad (57)$$

$$E_\rho = -\frac{\cos \theta}{\sin \theta} E_z, \quad E_\varphi = \frac{1}{\sin \theta} H_z \quad (58)$$

$$H_\rho = -\frac{\cos \theta}{\sin \theta} H_z, \quad H_\varphi = -\frac{1}{\sin \theta} E_z. \quad (59)$$

При выбранной нормировке энергия  $W$ , излучаемая в интервал частот  $d\omega$  в единицу телесного угла  $d\Omega$ , определяется выражением

$$\frac{dW}{d\omega d\Omega} = H_\omega H_\omega^* r^2. \quad (60)$$

Учитывая, что  $H_\omega = \frac{\sqrt{K_H^2 + K_E^2}}{\sin \theta} \frac{e^{i\omega r}}{r}$ , получаем

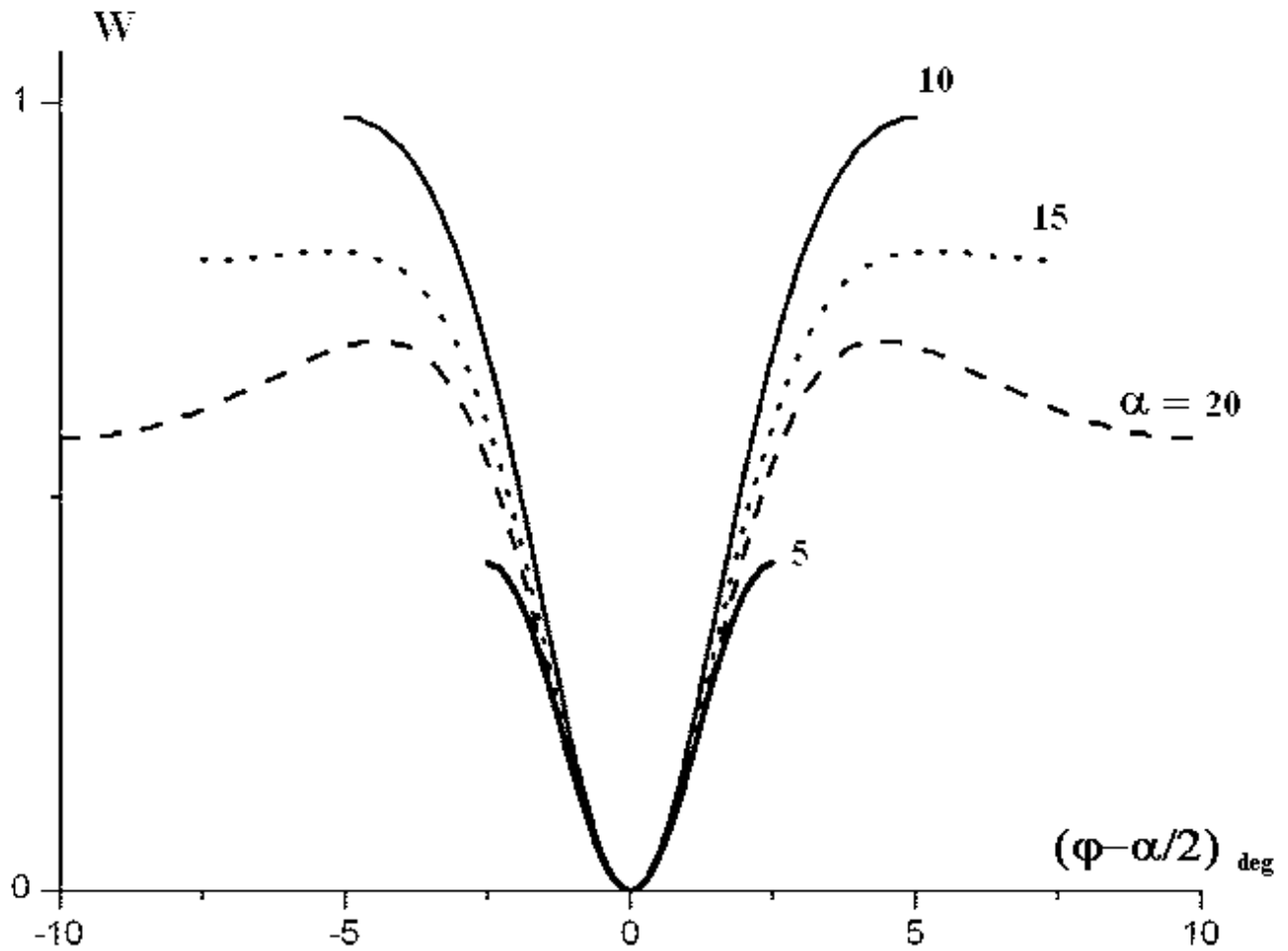
$$\frac{dW}{d\omega d\Omega} = \frac{K_H^2 + K_E^2}{\sin^2 \theta}. \quad (61)$$

Соотношения (61), (55) и (56) позволяют описать пространственное распределение интенсивности переходного излучения частицы вылетающей из ребра двугранного угла.

### Особенности переходного излучения в двугранном угле

Будем рассматривать угловые распределения излучения в плоскости  $xy$ . В этом случае угол  $\theta$  между продольной осью  $z$  и прямой, направленной в точку наблюдения, равен  $\pi/2$ . Обозначим через  $\gamma = (1 - v^2)^{-1/2}$  приведенную энергию частицы.

На рис.2 приведены угловые распределения интенсивности в плоскости  $xy$  при различных углах раствора. Частицы инжектируются вдоль биссектрисы двугранного угла, т.е. при условии ( $\varphi_o = \alpha/2$ ), а приведенная энергия частиц равна  $\gamma = 15$ . При больших углах раствора максимальная интенсивность наблюдается под углами  $|\varphi - \varphi_o| = \gamma^{-1} \approx 4^\circ$  к скорости частицы. Из рисунка следует, что интенсивность излучения вдоль плоскостей двугранного угла максимальна, когда угол раствора равен  $\alpha = 10^\circ \approx 2\gamma^{-1}$ . Уменьшение и увеличение угла раствора приводит к снижению этой интенсивности.



**Рис.2 Угловые распределения интенсивности при различных углах раствора.  $\Phi_0 = \alpha/2$ ,  $\gamma = 15$**

Выражение (56) позволяет определить направление максимальной интенсивности излучения. Экстремум функции  $K_H$  будет достигаться при условии

$$\cos(\nu\varphi) = \frac{4h^2 \cos(\nu\varphi_o) \pm (1 - h^2)\sqrt{(1 + h^2)^2 - 4h^2 \cos^2(\nu\varphi_o)}}{2(1 + h^2)h} = X. \quad (62)$$

В том случае, когда частица инжектируется вдоль биссектрисы двугранного угла (т.е.  $\varphi_o = \alpha/2$ ),  $\cos(\nu\varphi_o) = 0$ , и углы  $\varphi_{max}^+$  и  $\varphi_{max}^-$ , под которыми наблюдается максимальная интенсивность  $W_{max}^\pm$ , совпадают по величине и отличаются знаками. Угол  $\varphi_{max}^+ > \varphi_o$ , а угол  $\varphi_{max}^- < \varphi_o$ . Если частица инжектируется под другими углами (т.е.  $\varphi_o \neq \alpha/2$ ), то в общем случае  $W_{max}^+ \neq W_{max}^-$  и  $\varphi_{max}^+ \neq \varphi_{max}^-$ .

Если  $|X| < 1$ , интенсивность излучения проходит через максимум в пространстве между гранями двугранного угла. Интенсивность в максимумах

равна

$$\frac{dI_{max}^{\pm}}{d\omega d\Omega} = \left( \frac{q \sin(\nu\varphi_o)(1+h^2)^2}{2\alpha(1-h^2)[\sqrt{(1+h^2)^2 - 4h^2 \cos^2(\nu\varphi_o)} \pm (1-h^2)\cos(\nu\varphi_o)]} \right)^2. \quad (63)$$

Исследование зависимости  $X$  от  $\cos(\nu\varphi_o)$  показывает, что для выполнения условия  $|X| < 1$  хотя бы для одного значения  $\varphi$  необходимо, чтобы  $|X| < 1$  при  $\cos(\nu\varphi_o) = 1$ . Это возможно, если

$$\frac{4h^2 - (1-h^2)^2}{2(1+h^2)h} > -1, \quad (64)$$

что ведет к условию  $h > 2 - \sqrt{3}$  или

$$\gamma > \frac{1 + (2 - \sqrt{3})^{\frac{2}{\nu}}}{1 - (2 - \sqrt{3})^{\frac{2}{\nu}}}. \quad (65)$$

Для того чтобы при некоторых углах инжекции  $\varphi_o$  выполнялось условие  $|X| < 1$  для двух различных углов наблюдения  $\varphi$ , необходимо чтобы  $|X| < 1$  при  $\cos(\nu\varphi_o) = 0$ . В этом случае

$$\frac{(1-h^2)(1+h^2)}{2(1+h^2)h} < 1, \quad (66)$$

что ведет к условию  $h > \sqrt{2} - 1$  или

$$\gamma > \frac{1 + (\sqrt{2} - 1)^{\frac{2}{\nu}}}{1 - (\sqrt{2} - 1)^{\frac{2}{\nu}}}. \quad (67)$$

Угол, при котором излучение равно нулю, определяется из решения уравнения

$$(1+h^2)\cos(\nu\varphi) - 2h\cos(\nu\varphi_o) = 0, \quad (68)$$

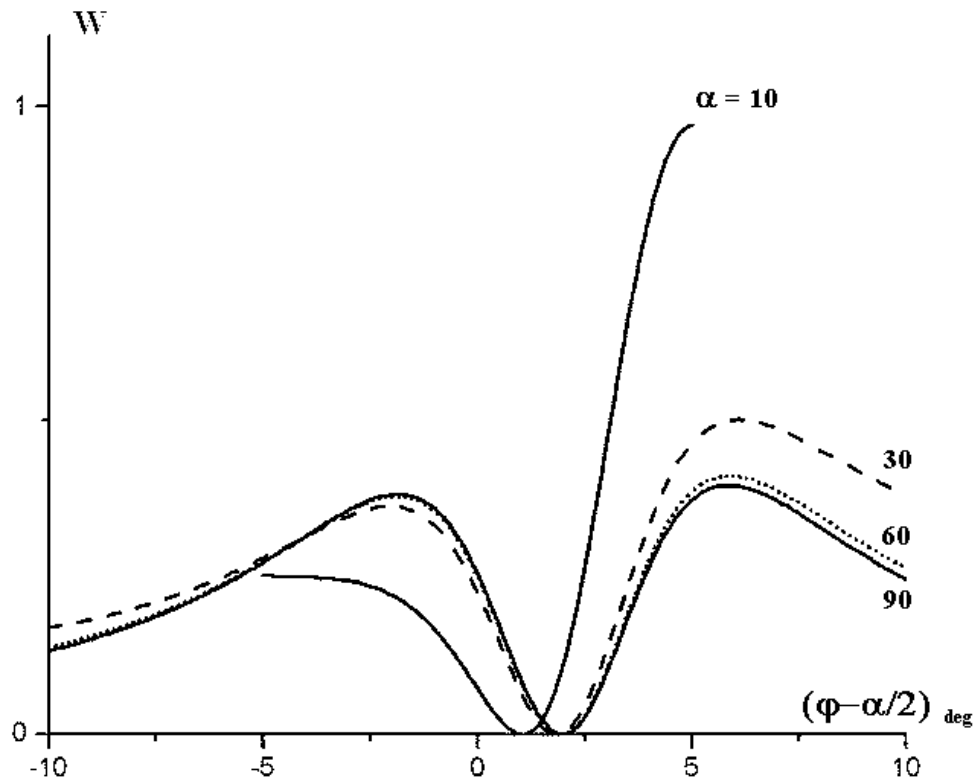
что дает

$$\cos(\nu\varphi) = \frac{2h\cos(\nu\varphi_o)}{(1+h^2)}. \quad (69)$$

Если  $|X| \geq 1$ , интенсивность излучения достигает максимумов на плоскостях двугранного угла при  $\varphi = 0$  и  $\varphi = \alpha$ . Величина интенсивности в этом случае равна

$$\frac{dW_{max}^{\pm}}{d\omega d\Omega} = \left( \frac{2qh\sin(\nu\varphi_o)}{\alpha[1+h^2 \pm 2h\cos(\nu\varphi_o)]} \right)^2. \quad (70)$$

На рис.3 приведены угловые распределения излучения при инжекции частиц с энергией  $\gamma = 15$  под углом  $\varphi = 2^\circ$  к биссектрисе двугранного угла. Зависимости построены для различных углов раствора  $\alpha$ . Видно, что при углах раствора  $\alpha >> \gamma^{-1}$  ( $\alpha = 60^\circ - 90^\circ$ ) отклонение направления инжекции от биссектрисы двугранного угла практически не нарушает симметрии углового распределения. Асимметрия становится заметной при углах раствора  $\alpha = 30^\circ - 20^\circ$ . При угле раствора  $\alpha \simeq 2\gamma^{-1}$  интенсивности излучения вдоль плоскостей угла различаются в 3.5 раза.



**Рис.3 Угловые распределения интенсивности при различных углах раствора.  $\Phi_0 - \alpha/2 = 2^\circ$   $\gamma = 15$**

### Заключение

Решена задача возбуждения переходного излучения в двугранном угле. Получены выражения описывающие пространственное распределение излучения. Показано, что зависимость угловых распределений излучения в двугранном угле от энергии и направления движения частиц более сильная, чем в случае переходного излучения на плоской границе раздела. Это рас-

ширяет возможности использования переходного излучения, в частности, для диагностики параметров заряженных частиц.

Авторы благодарны Б.М.Болотовскому за обсуждение работы.

## Литература

1. В.Л.Гинзбург, В.Н.Цытович. Переходное излучение и переходное рассеяние. Наука, М., 1984.
2. В.Л.Гинзбург, И.М.Франк. ЖЭТФ, **16**, 15 (1946).
3. M.I.Ryazanov and A.N.Safronov, Laser Phys. **6**, No.4, 708 (1996).
4. А.В.Серов, Б.М.Болотийовский, ЖЭТФ, **131**, 5, (2007).
5. А.В.Серов. ЖЭТФ, **135**, 3, (2009).
6. Л.А.Вайнштейн. Электромагнитные волны. Радио и связь, М., 1988
7. Л.Фелсен, Н.Маркувиц. Излучение и рассеяние волн. Мир, М., 1978
8. А.П.Прудников, Ю.А.Брычков, О.И.Маричев. Интегралы и ряды. Наука, М., 1981